

ПАРАМЕТРЫ ТЕНЗОРА ГЭП В УЗЛАХ МЕДИ  
И БАРИЯ РЕШЕТКИ  $\text{La}_{1.9}\text{Ba}_{0.1}\text{CuO}_4$ ,  
ОПРЕДЕЛЕННЫЕ МЕТОДОМ  
ЭМИССИОННОЙ МЕССБАУЭРОВСКОЙ СПЕКТРОСКОПИИ

В. Ф. Мастеров, Ф. С. Насрединов, П. П. Серегин,  
Э. С. Хужакулов, Р. А. Хайдаров

Антиферромагнетик  $\text{La}_2\text{CuO}_4$  не является сверхпроводником, однако частичная замена лантана на барий (или стронций) приводит к появлению сверхпроводимости с  $T_c$ , зависящей от содержания целочисленного металла. По-видимому, нет сомнений в решающей роли в появлении сверхпроводимости керамики типа  $\text{La}_{2-x}\text{Ba}_x\text{CuO}_4$  как центров меди, так и центров бария и лантана. Именно этим объясняется интерес к изучению указанных керамик методом ядерного квадрупольного резонанса (ЯКР) на изотопах  $^{63}, ^{65}\text{Cu}$  [1] и  $^{139}\text{La}$  [2], имеющих конечную цель определить параметры тензора градиента электрического поля (ГЭП) в узлах меди

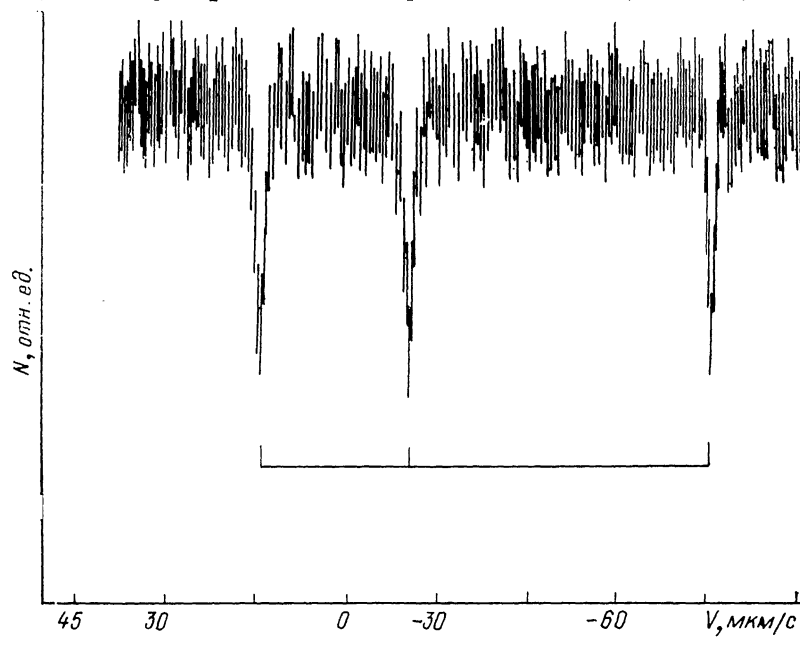


Рис. 1 Эмиссионный мессбауэровский спектр  $\text{La}_{1.9}\text{Ba}_{0.1}^{67}\text{CuO}_4$ .

и лантана. Основная идея этих работ заключается в принципиальной возможности сравнения экспериментальных значений параметров тензора ГЭП с результатами их теоретического расчета в приближении, когда весь ГЭП на ядрах  $^{63}, ^{65}\text{Cu}$  и  $^{139}\text{La}$  создается ионами кристаллической решетки, и получении на основе такого сравнения информации о зарядовом состоянии атомных центров в решетке сверхпроводника. Однако центры меди в  $\text{La}_{2-x}\text{Ba}_x\text{CuO}_4$  имеют частично заполненную 3d-оболочку, и это не позволяет из экспериментальных данных ЯКР на изотопах  $^{63}, ^{65}\text{Cu}$  определить главную компоненту тензора ГЭП, создаваемого в узлах меди ионами кристаллической решетки [3]. В то же время экспериментальные данные ЯКР на изотопе  $^{139}\text{La}$  оказываются непригодными для количественного сравнения с результатами расчета тензора ГЭП в узлах лантана [2]. Попытки определить параметры тензора ГЭП в узлах меди с помощью мессбауэрской спектроскопии на примесных атомах  $^{57}\text{Fe}$  [4]

$^{119}\text{Sn}$  [5] также нельзя считать успешными, поскольку остается неопределенным положение примесных атомов в решетке и неочевидно, какому конкретно узлу решетки следует приписать экспериментально определенные параметры тензора ГЭП.

Всех этих недостатков лишена эмиссионная мессбауэровская спектроскопия на изотопах  $^{67}\text{Cu}$  ( $^{67}\text{Zn}$ ) и  $^{133}\text{Ba}$  ( $^{133}\text{Cs}$ ), впервые предложенная авторами [6] для определения параметров тензора ГЭП в узлах меди и бария решетки  $\text{YBa}_2\text{Cu}_3\text{O}_{7-x}$ . Для обоих изотопов после распада материнских ядер ( $^{67}\text{Cu}$ ,  $^{133}\text{Ba}$ ) в соответствующих узлах кристаллической решетки образуются мессбауэровские ядра  $^{67}\text{Zn}$ ,  $^{133}\text{Cs}$ , причем дочерние атомы цинка и цезия имеют замкнутую оболочку, что позволяет из экспериментальных мессбауэровских спектров определять параметры тензора ГЭП, создаваемого в узлах меди и бария ионами кристаллической решетки.

Для исследований нами была синтезирована керамика состава  $\text{La}_{1.9}\text{Ba}_{0.1}\text{CuO}_4$  по традиционной керамической технологии [1, 2]. Контрольные образцы были однофазными, имели структуру типа  $\text{K}_2\text{NiF}_4$  и  $T_c \sim 25$  К. При синтезе использовался либо изотоп  $^{63}\text{Cu}$ , либо изотоп  $^{133}\text{Ba}$ . Мессбауэровские спектры снимались при 4.2 К с поглотителями  $^{67}\text{ZnS}$  и  $^{133}\text{CsCl}$ .

Мессбауэровский спектр образца  $\text{La}_{1.9}\text{Ba}_{0.1}\text{CuO}_4$  представляет собой хорошо разрешенный квадрупольный триплет (рис. 1), отвечающий единственному состоянию центров  $^{67}\text{Zn}^{2+}$ , находящихся в узлах меди. Результаты обработки экспериментальных спектров: постоянная квадрупольного взаимодействия  $(e^2qQ)_{^{67}\text{Zn}} = + (12.0 \pm 0.5)$  МГц, параметр асимметрии  $\eta \leqslant 0.2$  и главная компонента тензора ГЭП, созданная в узлах меди ионами кристаллической решетки,  $eq_{\text{kp}}^0(\text{Cu}) = + (0.154 \pm 0.006)$   $e/\text{\AA}^3$  (здесь  $eq$  — главная компонента тензора ГЭП на ядре  $^{67}\text{Zn}$ ,  $eQ$  — квадрупольный момент ядра  $^{67}\text{Zn}$ ). Для получения из экспериментального значения  $(e^2qQ)_{^{67}\text{Zn}}$  величины  $eq_{\text{kp}}^0(\text{Cu})$  мы воспользовались соотношением

$$q = (1 - \gamma) q_{\text{kp}}^0, \quad (1)$$

причем для коэффициента Штернхеймера для ионов  $\text{Zn}^{2+}$  использовано значение  $\gamma(\text{Zn}^{2+}) = -12.2$  [7], а для квадрупольного момента ядра  $^{67}\text{Zn}$   $Q(^{67}\text{Zn}) = 0.17$   $b$  [8].

Мессбауэровский спектр образца  $\text{La}_{1.9}\text{Ba}_{0.1}\text{CuO}_4$  (рис. 2) представляет собой одиночную несколько уширенную линию (ширина на полувысоте была  $\Gamma_{\text{эксп}} = 1.05 \pm 0.02$  мм/с, тогда как аппаратурная ширина спектральной линии для спектра с источником  $^{133}\text{BaO}$  и поглотителем  $^{133}\text{CsCl}$  была  $\Gamma_{\text{апп}} = 0.90 \pm 0.02$  мм/с), отвечающую центрам  $^{133}\text{Cs}^+$  в узлах бария. Уширение спектра мы приписали неразрешенному квадрупольному расщеплению. Результаты обработки экспериментальных спектров:  $| (e^2qQ)_{^{133}\text{Cs}} | = 65 \pm 2$  МГц и главная компонента тензора ГЭП, созданного в узлах бария ионами кристаллической решетки,  $| eq_{\text{kp}}^0(\text{Ba}) | = + (0.069 \pm 0.002)$   $e/\text{\AA}^3$  (здесь  $eq$  — главная компонента тензора ГЭП на ядрах  $^{133}\text{Cs}$ ,  $eQ$  — квадрупольный момент ядра  $^{133}\text{Cs}$ ). Для получения из экспериментального значения  $(e^2qQ)_{^{133}\text{Cs}}$  величины  $eq_{\text{kp}}^0(\text{Ba})$  мы воспользовались соотношением (1), причем использованы значения  $\gamma(\text{Cs}^+) =$

Результаты расчета главной компоненты тензора ГЭП (в единицах  $e/\text{\AA}^3$ ), созданного ионами кристаллической решетки в узлах меди и бария (лантана) решетки  $\text{La}_{1.9}\text{Ba}_{0.1}\text{CuO}_4$

| Модель   | $eq_{\text{kp}}^0(\text{Cu})$ | $eq_{\text{kp}}^0(\text{Ba}, \text{La})$ |
|--|-------------------------------|--|
| $\text{La}_{1.9}^{3+}\text{Ba}_{0.1}^{2+}\text{Cu}^{2+}\text{O}(1)^{\frac{1}{2}-}\text{O}(1)^{\frac{1}{2}-}\text{O}(2)^{\frac{1}{2}-}$ | +0.647                        | -0.155                                   |
| $\text{La}_{1.9}^{3+}\text{Ba}_{0.1}^{2+}\text{Cu}^{2+}\text{O}(1)^{\frac{1}{2}-}\text{O}(2)^{\frac{1}{2}-}\text{O}(2)^{\frac{1}{2}-}$ | +0.597                        | -0.149                                   |
| $\text{La}_{1.9}^{3+}\text{Ba}_{0.1}^{2+}\text{Cu}^{2+}\text{Cu}^{3+}\text{O}(1)^{\frac{1}{2}-}\text{O}(2)^{\frac{1}{2}-}$             | +0.624                        | -0.153                                   |

$= -121.3$  и  $Q(^{133}\text{Cs}) = -0.003$   $b$  (для основного состояния),  $Q(^{133}\text{Cs}) = -0.22$   $b$  (для возбужденного состояния) [9].

Мы провели расчет параметров тензора ГЭП в катионных узлах решетки  $\text{La}_{1.9}\text{Ba}_{0.1}\text{CuO}_4$  в рамках модели точечных зарядов

$$eq_{kp} = \sum_i e_i^* \frac{3 \cos^2 \theta_i - 1}{r_i^3},$$

$$\eta = \frac{1}{eq_{kp}} \sum_i e_i^* \frac{3 \sin^2 \theta_i \cos 2\varphi_i}{r_i^3}, \quad (2)$$

где  $r_i$ ,  $\theta_i$ ,  $\varphi_i$  — полярные координаты зарядов  $e_i^*$ .

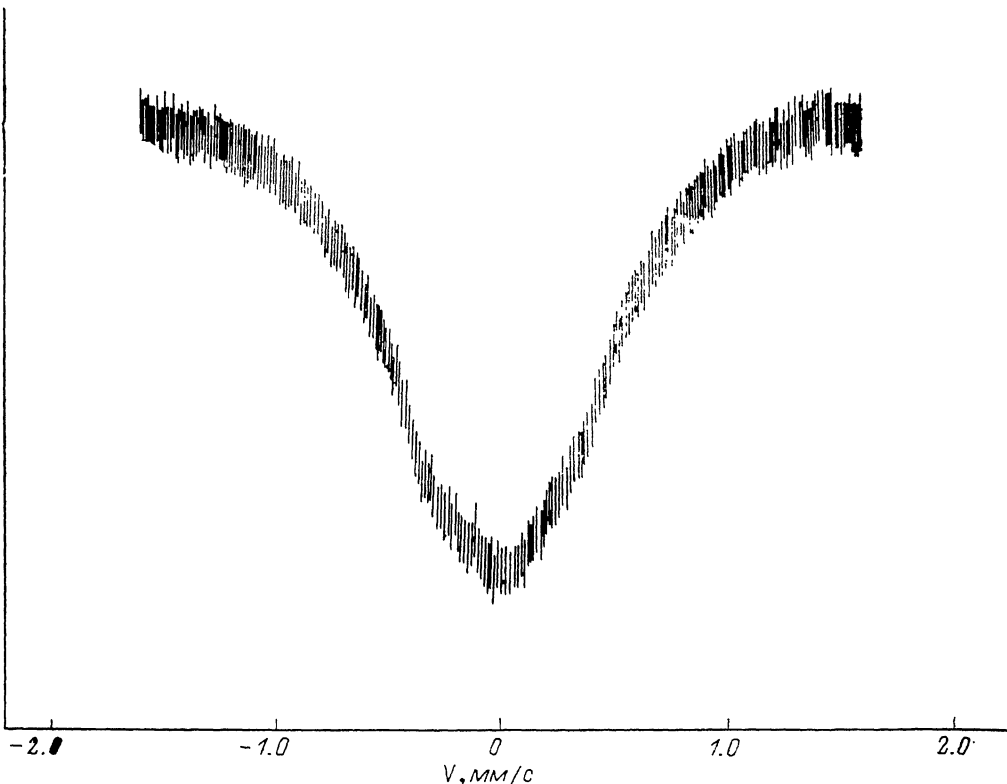


Рис. 2. Эмиссионный мессбауэровский спектр  $\text{La}_{1.9}\text{Ba}_{0.1}\text{CuO}_4$ .

Предполагалось, что решетка состоит из четырех подрешеток, и структурная формула записывалась в виде  $(\text{La}, \text{Ba})_2\text{CuO}(1)_2\text{O}(2)_2$ . Положение атомов в элементарной ячейке и постоянные решетки брались согласно [10]. Результаты расчетов для различных моделей распределения зарядов атомных центров по узлам решетки  $\text{La}_{1.9}\text{Ba}_{0.1}\text{CuO}_4$  с учетом электронейтральности решетки приведены в таблице. Тензоры ГЭП для узлов меди и бария (лантана) диагональны в кристаллографических осах, тензоры аксиально симметричны, и главная ось тензоров совпадает с кристаллографической осью  $c$ . Видно, что ни для одной комбинации ионов, имеющих эффективные заряды, близкие к их формальным валентностям, не удается достичь согласия расчетных  $eq_{kp}$  и экспериментальных  $eq_{kp}^{\text{exp}}$  значений как для узлов меди, так и для узлов бария. По-видимому, это расхождение связано как с неопределенностью значений  $\gamma(\text{Zn}^{2+})$ ,  $\gamma(\text{Cs}^+)$ , использованных нами при переходе от экспериментальных значений  $(e^2 q Q)_{\text{Cs}}$  к  $eq_{kp}^{\text{exp}}(\text{Cu})$ ,  $eq_{kp}^{\text{exp}}(\text{Ba})$ , так и с неправомерностью использования при расчетах тензора ГЭП зарядов атомных центров, близких к валентностям соответствующих атомов.

- [1] Yashimura K., Imai T., Shimizu T. et al. // J. Phys. Soc. Jap. 1989. V. 58. P. 3057—3060.
- [2] Tan Z., Budnick J. I., Zhang Y. D. et al. // Physica C. 1988. V. 156. P. 137—142.
- [3] Garcia M. E., Bennemann K. H. // Phys. Rev. B. 1989. V. 40. P. 8809—8813.
- [4] Kimball C. W., Matykiewicz J. L., Giapintzakis J. et al. // Physica C. 1987. V. 148. P. 309—311.
- [5] Giapintzakis J., Matykiewicz J., Kimball C. W. et al. // Phys. Lett. A. 1987. V. 121. P. 307—310.
- [6] Серегин П. П., Насрединов Ф. С., Мастеров В. Ф., Дарибаева Г. Т. // Письма в ЖЭТФ. 1990. Т. 51. № 11. С. 593—597.
- [7] Sternheimer R. M. // Phys. Rev. 1966. V. 146. P. 140—160.
- [8] Fuller G. H., Cohen V. W. // Nucl. Data A. 1969. V. 5. P. 433—467.
- [9] Dezsi I. et al. // Phys. Rev. B. 1989. V. 39. P. 6321—6324.
- [10] Yvon K., Francois M. // Z. Phys. B. 1989. V. 76. P. 413—444.

Ленинградский государственный  
технический университет  
Физико-технический институт  
им. А. Ф. Иоффе АН СССР  
Ленинград

Поступило в Редакцию  
2 января 1991 г.

УДК 537.533

© Физика твердого тела, том 33, № 6, 1991  
Solid State Physics, vol. 33, N 6, 1991

## О РОЛИ ЭЛЕКТРОННЫХ И ДЫРОЧНЫХ ЦЕНТРОВ В ЭКЗОЭМИССИИ ОКСИДА МАГНИЯ

А. В. Монахов, В. С. Кортов, А. И. Слесарев

Термостимулированную экзоэлектронную эмиссию (ТСЭЭ) кристаллов MgO в температурном диапазоне 300—450 К обычно связывают с Оже-рекомбинационными переходами между зонными дырками и электронными центрами окраски [1, 2]. Однако авторы [3, 4] полагают, что в оксиде магния в указанном температурном интервале распадаются не только дырочные, но и электронные центры.

Целью настоящей работы является экспериментальное обоснование вклада дырочных и электронных центров захвата в ТСЭЭ оксида магния в интервале 300—400 К.

Поскольку энергии активации для делокализации носителей с электронных и дырочных центров в этом относительно нешироком температурном диапазоне могут быть близки, то измерения ТСЭЭ были проведены в режиме фракционного нагрева [5]. Параллельно исследовалась термостимулированная люминесценция (ТСЛ) кристаллов MgO. Экзоэмиссия и люминесценция регистрировались синхронно в вакууме  $10^{-6}$  Па в камере экзоэмиссионного спектрометра [6]. Параметры фракционного нагрева: средняя скорость 0.03 К/с, приращения температуры внутри цикла 6 К, от цикла к циклу 2 К.

Исследуемые образцы выкальвались на воздухе из исходного монокристалла MgO, выращенного методом дуговой плавки, в виде пластин, плоскости которых параллельны главным осям. По данным химического анализа, кристаллы содержали примеси Al, Si, Ca, Fe, Cr, Mn, суммарная концентрация которых составляла ~0.8 вес. %. Непосредственно перед измерениями образцы отжигались в вакуумной камере установки до 570 К и после охлаждения возбуждались при комнатной температуре рентгеновским излучением (трубка БСВ-2, Со-анод, 35 кВ, 10 мА) в течение 5 ч.

Дополнительно исследовались изменения в спектрах ЭПР и оптического поглощения при изохронном отжиге рентгенезированных кристал-